



تولید و مشخصه‌یابی کامپوزیت A356 تقویت شده با ذرات نانو و میکرومتری SiC به روش ریخته‌گری گردابی

کمال عموری^۱, جمال عموری^۲, سعید احمدی‌فرد^۱, مهدی کزازی^{۳*}, شهاب کاظمی^۴

۱- فارغ التحصیل کارشناسی ارشد، مهندسی مواد، دانشگاه بوعلی سینا، همدان

۲- فارغ التحصیل کارشناسی، مهندسی مواد، دانشکده شهید صدوقي، یزد

۳- استادیار، مهندسی مواد، دانشگاه ملایر، ملایر

۴- استادیار، مهندسی مواد، دانشگاه بوعلی سینا، همدان

* ملایر، کد پستی ۶۵۷۱۹-۹۵۸۶۳

m_kazazi@malayeru.ac.ir

چکیده

در این پژوهش کامپوزیت‌های زمینه آلیاژ آلومنیم A356 تقویت شده با درصدهای وزنی مختلف از نانوذرات و ذرات میکرومتری کاربید سیلیسیم به ترتیب با میانگین اندازه ۵۰ نانومتر و ۵ میکرومتر توسط روش ریخته‌گری گردابی تولید شد. با توجه به نقش عملیات حرارتی T6 بر روی افزایش استحکام و سختی آلیاژ A356، کامپوزیت‌های به دست آمده تحت عملیات حرارتی T6 قرار داده شدند. سختی و خواص فشاری نمونه‌های کامپوزیتی مورد بررسی قرار گرفت. میکروساختار نمونه‌ها نیز توسط میکروسکوپ‌های نوری، الکترونی روبشی و الکترونی گسیل میدانی بررسی شد. بررسی ریزساختاری نشان داد که انجام عملیات حرارتی T6 باعث تغییر در مورفلوژی سیلیسیم یوتکتیک شده و طی مرحله افزایش درصد وزنی نانوذرات، سختی و استحکام فشاری افزایش می‌یابد. نتایج حاصل از ریزساختار نمونه‌ها، توزیع نسبتاً یکنواختی را از ذرات تقویت کننده نشان داد. همچنین استحکام و سختی کامپوزیت‌های تقویت شده با نانوذرات بیشتر از کامپوزیت تقویت شده با ذرات میکرومتری با وجود درصد وزنی بالاتر بود. میزان سختی و استحکام فشاری در کرنش ۳۵ درصد کامپوزیت عملیات حرارتی شده و تقویت شده با ۱.۵ درصد وزنی نانوذرات به ترتیب ۶۲ بربنل و ۲۵۲ مگاپاسکال نسبت به آلیاژ پایه ریختگی بهبود یافته است.

اطلاعات مقاله

مقاله پژوهشی کامل

دریافت: ۰۶ مرداد ۱۳۹۵

پذیرش: ۳۰ مرداد ۱۳۹۵

ارائه در سایت: ۲۴ مهر ۱۳۹۵

کلید واژگان:

ریخته‌گری گردابی

عملیات حرارت T6

ریزساختار

ذرات SiC

سختی و استحکام فشاری

Preparation and characterization of A356 composite reinforced with SiC nano- and microparticles by stir casting method

Kamal Amouri¹, Jamal Amouri², Saeed Ahmadifard¹, Mahdi Kazazi^{3*}, Shahab Kazemi¹

1- Department of Materials Engineering, Bu-Ali Sina University, Hamedan, Iran.

2- Department of Materials Engineering, College of Shahid Sadoughi, Yazd, Iran.

3- Department of Materials Engineering, Faculty of Engineering, Malayer University, Malayer, Iran.

* P.O.B. 65719-95863 Malayer, Iran, m_kazazi@malayeru.ac.ir

ARTICLE INFORMATION

Original Research Paper

Received 27 July 2016

Accepted 20 August 2016

Available Online 15 October 2016

Keywords:

Stir casting

T6 heat treatment

Microstructure

SiC particles

Hardness and Compressive strength

ABSTRACT

In this study, A356 aluminum alloy matrix composites reinforced with different weight percentages of SiC nano- and microparticles respectively with 50 nm and 5 μm average particle sizes were fabricated by stir casting method. Due to the effect of T6 heat treatment on the strength and hardness of A356 alloy, the obtained composites were subjected to the T6 heat treatment. The mechanical properties such as hardness and compressive properties of the composites were investigated. Microstructures of the samples were also investigated by an optical microscope (OM), scanning electron microscope (SEM) and field emission scanning electron microscope (FESEM). Microstructural investigation indicated that T6 heat treatment led to the change of eutectic silicon morphology and formation of the Mg₂Si precipitates during age hardening stage, leading to increased hardness and compressive strength. The results showed that an increase in wt.% of nanoparticles leading to increased hardness and compressive strength. The results of microstructural investigation showed the relatively uniform distribution of reinforcement particles. Also, the strength and hardness of the composites reinforced with nanoparticles were greater than those of the composite reinforced with microparticles, even with higher weight percent of reinforcement particles. Hardness and compressive strength at 35% strain for the composite reinforced with 1.5 wt.% nanoparticles were respectively obtained 62 HBN and 252MPa, which are improved compared to the base alloy.

- مقدمه

Please cite this article using:

K. Amouri, J. Amouri, S. Ahmadifard, M. Kazazi, Sh. Kazemi, Preparation and characterization of A356 composite reinforced with SiC nano-and microparticles by stir casting method, *Modares Mechanical Engineering*, Vol. 16, No. 10, pp. 335-342, 2016 (in Persian)

برای ارجاع به این مقاله از عبارت ذیل استفاده نمایید:

شیمیایی سطح به دلیل ایجاد یک لایه اکسیدی روی سطح ذرات می‌شود که ایجاد لایه اکسیدی باعث بهبود تر شوندگی ذرات با فلز مذاب می‌شود [11,10].

تحقیقاتی در رابطه با تأثیر عملیات حرارتی بر خواص مکانیکی کامپوزیت‌های زمینه آلومینیم انجام شده است. در کامپوزیت A356-10%SiC، نمونه‌های عملیات حرارتی شده در مقایسه با نمونه‌های ریختگی سختی و استحکام بیشتری را از خود نشان دادند [3]. سجادی و همکاران کامپوزیت زمینه آلومینیم تقویت شده با ذرات اکسید آلومینیم به روش ریخته‌گری گردابی تولید نمودند و نشان دادند که افزودن ذرات تقویت‌کننده باعث افزایش استحکام تسیلیم، استحکام کششی نهایی و استحکام فشاری و همچنین باعث افزایش سختی می‌شود [12]. راوی و همکاران نشان دادند که افزودن ذرات تقویت‌کننده کاربید بر به زمینه آلومینیم باعث افزایش سختی و استحکام کششی می‌شود. کامپوزیت به روش ریخته‌گری گردابی تولید شده و همچنین افزودن ذرات تقویت‌کننده باعث کاهش اندازه دانه زمینه شده و ذرات به طور یکنواخت در زمینه توزیع شده‌اند [13].

هدف از انجام این پژوهش تولید کامپوزیت زمینه آلومینیم A356 با استفاده از ذرات تقویت‌کننده میکرومتری و نانومتری کاربید سیلیسیم با روش ریخته‌گری گردابی و مقایسه سختی و استحکام فشاری کامپوزیت‌های تقویت‌شده با ذرات نانومتری و میکرومتری است. همچنین در این تحقیق به تأثیر عملیات حرارتی T6 روی ریزساختار، سختی و استحکام فشاری آلیاز پایه و کامپوزیت‌های تولید شده پرداخته شده است.

2- مواد و روش تحقیق

در این پژوهش برای تولید کامپوزیت زمینه فلزی، آلیاز آلومینیم A356 انتخاب شده که ترکیب شیمیایی آن در جدول 1 ارائه شده است.

دلایل استفاده از این آلیاز به عنوان زمینه کامپوزیت عبارت است از:

1- برای کامپوزیت‌های Al/SiC_p که به روش حالت مایع تولید می‌شوند، برای جلوگیری از واکنش فصل مشترک تحت زمان طولانی و درجه حرارت بالا، آلیاز زمینه باید شامل حداقل 7 درصد سیلیسیم باشد [14].

2- قابلیت ریختگی خوب (سیالیت بالای مذاب در هنگام ریخته‌گری)

3- قابلیت عملیات حرارتی این آلیاز

از دو نوع پودر کاربید سیلیسیم با متوسط اندازه ذره 50 نانومتر و 5 میکرومتر به عنوان تقویت‌کننده استفاده شده است. تصویر میکروسکوپ الکترونی رویشی و الکترونی عبوری از پودرهای تقویت‌کننده میکرومتری و نانومتری کاربید سیلیسیم در شکل‌های 1 و 2 نشان داده شده است.

برای تولید کامپوزیت زمینه آلومینیمی مقدار 500 گرم از آلیاز A356 در بوته گرافیتی گذاشته شده و در داخل کوره ذوب مقاومتی قرار داده شد. ذوب کردن آلیاز در دمای 800 درجه سلسیوس انجام شده و موقعي که آلیاز خمیری شد، سطح آن با فلاکس کاوارل 11 پوشش داده شد. برای افزایش ترشوندگی ذرات کاربید سیلیسیم با مذاب از یک درصد وزنی منیزیم استفاده شد.

جدول 1 ترکیب شیمیایی فلز پایه

Table 1 Chemical composition of A356 alloy

Si	Fe	Cu	Mn	Mg	Zn	Ti	Al
7.10	0.18	0.14	0.10	0.42	0.10	0.18	bal

آلیاز A356 یک آلیاز ریخته‌گری بوده که شامل آلومینیم، سیلیسیم و منیزیم است. این آلیاز دارای استحکام و شکل‌پذیری خوب به همراه خواص ریخته‌گری عالی، مقاومت به خوردگی بالا و سیالیت خوب است. این آلیاز به طور گسترده‌ای در صنایع ماشین‌سازی، هواپیماسازی، صنایع دفاعی و به ویژه در صنایع خودروسازی به جای اجزای فلزی استفاده می‌شود. سیلیسیم یوتکنیک اصلاح‌شده در آلیاز A356 به صورت ساختاری درشت و بشقابی شکل حضور داشته که خواص مکانیکی آلیاز (به خصوص شکل‌پذیری) را کاهش می‌دهد. با این حال خواص مکانیکی آن می‌تواند توسط عملیات حرارتی مناسب و به خصوص استفاده از عملیات حرارتی T6 به طور قابل توجهی بهبود یابد [3-1].

در کامپوزیت‌های زمینه فلزی، آلیاز نسبتاً نرم مانند آلومینیم را می‌توان با استفاده از ذرات سرامیکی سخت و شکننده معمول مانند کاربید سیلیسیم، اکسید آلومینیم و کاربید بر مستحکم نمود [4]. کامپوزیت زمینه آلومینیم تقویت‌شده با ذرات کاربید سیلیسیم در چند دهه اخیر با توجه به خواص عالی مانند وزن سبک، استحکام بالا، مقاوم به سایش، ضربه انعطاف‌پذیری کم و تنوع روش‌های موجود برای ساخت آن‌ها بسیار مورد توجه قرار گرفته‌اند [5].

عموماً استفاده از ذرات سرامیکی در ابعاد میکرومتری باعث بهبود در استحکام تسیلیم و استحکام کششی فلز می‌شود ولی شکل‌پذیری کامپوزیت زمینه فلزی با افزایش درصد ذرات سرامیکی کاهش می‌یابد. به همین دلیل از ذرات سرامیکی در ابعاد نانومتری بهمنظور جلوگیری از کاهش انعطاف‌پذیری به جای ذرات میکرومتری استفاده می‌شود. همچنین استفاده از نانوذرات به طور قابل توجهی باعث بهبود خواص مکانیکی زمینه نسبت به ذرات میکرومتری می‌شود [3].

فرآیند ساخت کامپوزیت‌های زمینه آلومینیمی شامل روش‌های حالت مایع، نیمه جامد و متالورژی پودر است. ریخته‌گری گردابی یک روش حالت مایع تولید کامپوزیت است که در آن ذرات سرامیکی به وسیله یک همزن مکانیکی در مذاب توزیع می‌شوند. مذاب آمده شده با ذرات سرامیکی می‌تواند برای ریخته‌گری تحت فشار، ریخته‌گری با قالب‌های دائمی یا ریخته‌گری ماسه‌ای استفاده شود. ریخته‌گری گردابی برای تولید کامپوزیت‌های زمینه فلزی، مقرون نسبت به سایر روش‌های دیگر برای تولید کامپوزیت‌های زمینه فلزی، مفروض به صرفه‌تر بوده و اجازه ساخت قطعات در ابعاد بزرگ را می‌دهد [8]. در تولید کامپوزیت‌های زمینه فلزی به روش ریخته‌گری گردابی، عوامل متعددی که نیاز به توجه دارند، شامل موارد زیر می‌باشد [9]:

1- مشکل رسیدن به توزیع یکنواخت مواد تقویت‌کننده.

2- تر شوندگی بین مواد تقویت‌کننده و فلز مذاب.

3- تخلخل در کامپوزیت‌های زمینه فلزی ریختگی.

4- واکنش شیمیایی بین مواد تقویت‌کننده و آلیاز زمینه.

به طور کلی تر شوندگی ذرات سرامیکی در فلز مذاب کم است. تر شوندگی خوب باعث ایجاد پیوند قوی بین زمینه و ذره می‌شود. تکنیک‌های مختلفی برای افزایش تر شوندگی ذرات وجود دارد که شامل پیش گرم کردن ذرات، اضافه کردن عناصری مانند منیزیم و لیتیوم به زمینه، پوشش یا اکسیداسیون ذرات سرامیکی، تمیز کردن سطح ذرات به وسیله امواج فرماحتی و اج کردن وجود دارد. پیش گرم کردن ذرات سرامیکی مانند کاربید سیلیسیم منجر به حذف ناخالصی‌های سطحی و دفع گازها و تغییر در ترکیب



Fig. 3 View of stainless steel stirrer

شکل 3 نمایی از همزن فولادی زنگنزن



Fig. 4 The stir casting system used in this study

شکل 4 سیستم ریخته‌گری گردابی استفاده شده در این پژوهش

آنیون^۱، الکترونی رو بشی (مدل تسکن^۲ و ژئول^۳) و الکترونی گسیل میدانی (مدل تسکن) بررسی شد.

برای بررسی سختی نمونه‌های تولید شده، آزمون سختی‌سنجدی برینل با قطر ساقمه ۵ میلی‌متر و بار ۹۸۰ نیوتون استفاده شد. برای هر نمونه ۵ نقصه سختی‌سنجدی انجام شد و میانگین مقادیر بدست آمده به عنوان سختی متوسط گزارش شد.

برای تعیین استحکام فشاری، از نمونه‌هایی با قطر ۱۰ میلی‌متر و ارتفاع ۱۵ میلی‌متر استفاده شد. برای انجام این آزمایش از دستگاه پرس سنتام^۴ استفاده شد و بار اعمالی استفاده شده شده تا ۱۰۰ کیلونیوتن بوده است. سرعت نیرو نیز در این آزمایش برابر با ۱ میلی‌متر بر دقیقه بوده و آزمون فشار در دمای محیط انجام گرفت.

۳- نتایج و بحث

۳-۱- بررسی ریزساختار

شکل ۵ تصویر میکروسکوپ نوری از ریزساختار آلیاژ پایه ریختگی را نشان می‌دهد. همان‌طور که مشاهده می‌شود، ریزساختار شامل دندربیت‌های غنی از آلومینیم (مناطق سفید رنگ) و فاز یوتکنیک آلومینیم-سیلیسیم (مناطق تیره) است.

شکل ۶ نیز تصویر میکروسکوپ الکترونی رو بشی از ریزساختار آلیاژ پایه را نشان می‌دهد. در این تصویر مناطق تیره رنگ، دندربیت‌های غنی از

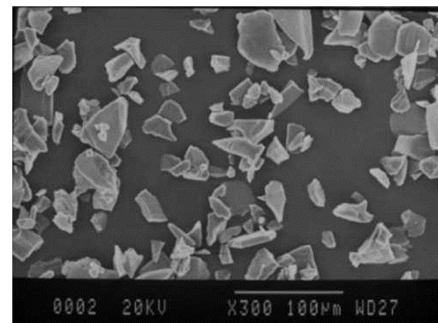


Fig. 1 SEM micrographs of As-received SiC micro particles

شکل ۱ تصویر میکروسکوپ الکترونی رو بشی از ذرات میکرومتری کاربید سیلیسیم

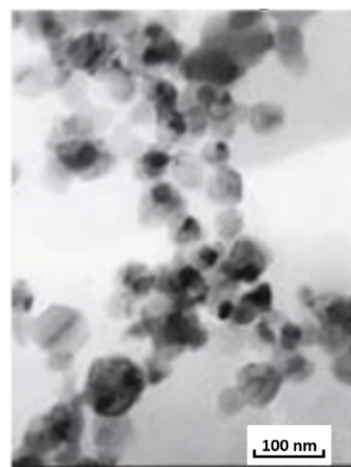


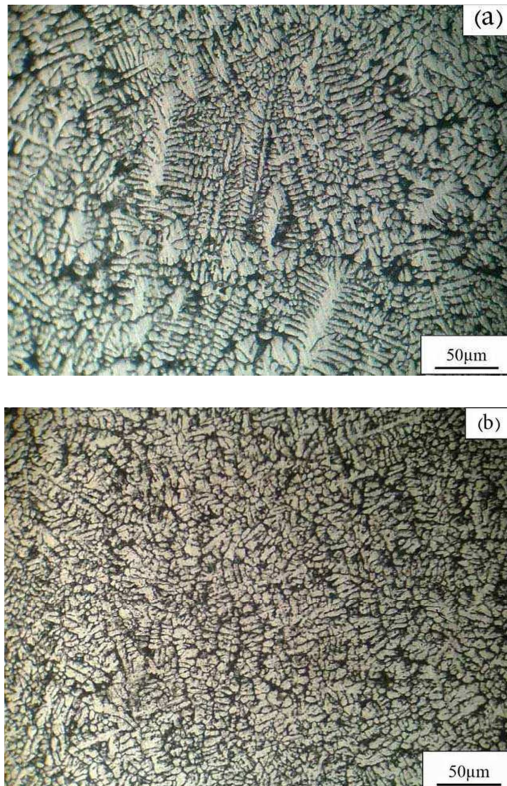
Fig. 2 TEM micrographs of As-received SiC nano particles

شکل ۲ تصویر میکروسکوپ الکترونی عبوری از نانوذرات کاربید سیلیسیم

شد. بعد از ذوب کامل آلیاژ، مذاب با قرص دگازر هگزاکلرواتان (C_2Cl_6) گازدایی شد. بعد از گازدایی، سطح مذاب کاملاً سرباره گیری شده و برای جلوگیری از اکسید شدن، تحت گاز نیتروژن قرار گرفت. پودر کاربید سیلیسیم به کمک کوره الکتریکی و در اتمسفر ۷۰۰ درجه سلسیوس به ترتیب ۸۰۰ درجه سلسیوس و یک ساعت و برای ذرات میکرومتری نیز ۱۰۰۰ درجه سلسیوس و مدت زمان دو ساعت در نظر گرفته شد. پودر پیش گرم شده که درون فویل‌های آلمینیمی قرار داده شده بود، به تدریج به مذاب اضافه شد و مذاب با سرعت ۶۰۰ دور بر دقیقه و به مدت ۷ دقیقه توسط همزن فولادی زنگ نزن همراه شد. پس از آن مذاب درون قالب‌های استوانه‌ای شکل از جنس فولاد با قطر داخلی ۲۰ میلی‌متر و ارتفاع ۱۵ سانتی‌متر که در دمای ۳۵۰ درجه سلسیوس پیش گرم شده‌اند، ریخته شد. از نانوذرات کاربید سیلیسیم به میزان ۰.۵ و ۱.۵ درصد وزنی و از ذرات میکرومتری به میزان ۵ درصد و وزنی به عنوان تقویت‌کننده استفاده شد. شکل ۳ همزن فولادی زنگ نزن و شکل ۴ دستگاه ریخته‌گری گردابی استفاده شده در این پژوهش را نشان می‌دهد.

به‌منظور بررسی ریزساختار آلیاژ پایه و نمونه‌های کامپوزیتی، سطح نمونه‌ها تا کاغذ سنباده شماره ۲۰۰۰ پرداخت و روی پارچه نمدی پولیش کاری شد. به‌منظور آشکارسازی و حکاکی کردن سطح نمونه‌ها از محلول کلر (۲ mL HF, ۳ mL HCl, ۵ mL HNO₃ and ۱۹۰ mL H₂O) استفاده شد. ریزساختار آلیاژ ریختگی A356 و نمونه‌های کامپوزیتی در حالت ریختگی و عملیات حرارتی شده توسط میکروسکوپ‌های نوری (مدل

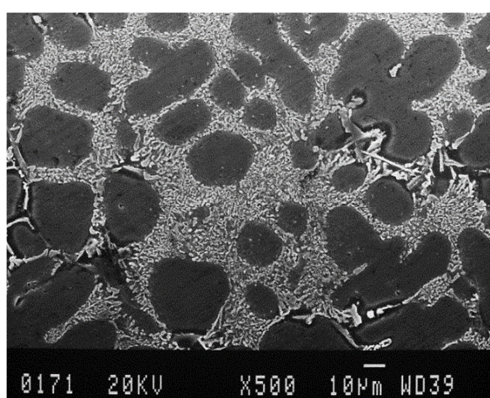
¹ Union² Tescan³ Jeol⁴ Santam



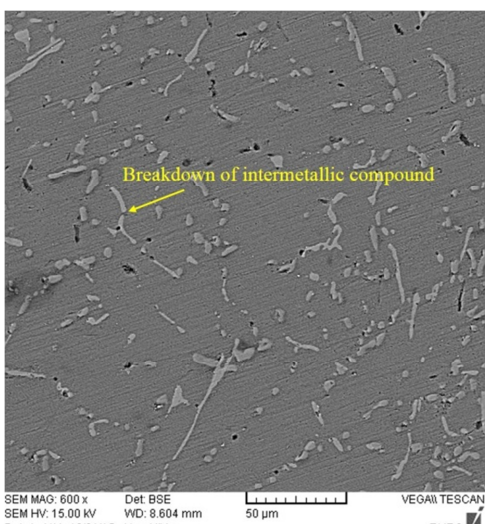
شکل 7 تصویر میکروسکوب نوری از ریزساختار آلیاز پایه (a) کامپوزیت تقویت شده با 5 درصد وزنی ذرات میکرومتری کاربید سیلیسیم



شکل 5 تصویر میکروسکوب نوری از ریزساختار آلیاز پایه



شکل 6 تصویر میکروسکوب نوری از ریزساختار آلیاز پایه



شکل 8 تصویر میکروسکوب الکترونی رویشی از ریزساختار آلیاز پایه عملیات حرارتی شده

جداشده در طول عملیات حرارتی کروی می‌شوند [17]. در شکل 8 علاوه بر کروی شدن فاز یوتکتیک سیلیسیم، ترکیب بین‌فلزی غنی از آهن با ریختشناسی تیغه‌ای شکل که با کنتراست روش‌تری نسبت به ذرات سیلیسیم مشاهده می‌شود، حین عملیات حرارتی T6 نیز شکسته شده است. مکانیزم کاهش طول تیغه‌های غنی از آهن، انحلال و خرد شدن این ترکیبات به درون زمینه است. در این پدیده، عنصری مانند آهن و سیلیسیم پس از

آلومینیم و مناطق سفید رنگ نشان‌دهنده فاز یوتکتیک آلومینیم- سیلیسیم می‌باشد.

شکل 7 ریزساختار آلیاز پایه و کامپوزیت تقویت شده با 5 درصد وزنی ذرات میکرومتری را نشان می‌دهد. همان‌طور که مشاهده می‌شود ریزساختار آلیاز پایه تقویت‌نشده شامل دندربیت‌های کشیده و بلند فاز α است. با اضافه کردن ذرات تقویت‌کننده، طول دندربیت‌ها کاهش یافته و ساختار به صورت دندربیت‌های هم‌محور و ریزتری تبدیل شده است. این نشان می‌دهد که برخی از ذرات مانند کاربید سیلیسیم به عنوان محل‌هایی برای جوانه‌زنی غیر همگن در حین انجام کامپوزیت‌هایی که به روش مایع تولید شده‌اند، عمل می‌کند. همچنین در کامپوزیت‌های تولید شده به روش مایع، اندازه دانه زمینه می‌تواند به مرأت ریزتر از آلیاز تقویت‌نشده باشد که علت این امر قفل شدن اندام‌های توسط ذرات بوده که مانع از رشد دانه‌ها شده و باعث ریز شدن اندام‌های دانه‌های زمینه می‌شود [15,14].

در گزارش‌های قبلی نیز ریز شدن دندربیت‌ها ناشی از اضافه نمودن ذرات تقویت‌کننده به زمینه آلومینیم A356 گزارش شده است [16,12].

آلیاز A356 در حالت ریختگی شامل شبکه پیوسته‌ای از فاز سیلیسیم است (شکل 6) که بعد از عملیات حرارتی، ذرات سیلیسیم شکسته شده و به صورت تقریباً ریز و جداسده درآمده است که در شکل 8 مشاهده می‌شود. حضور سیلیسیم اصلاح شده در زمینه آلومینیم (شکل 8) تأثیر عملیات حرارتی را روی اصلاح سیلیسیم صفحه‌ای و سوزنی شکل به ذرات سیلیسیم کروی نشان می‌دهد. فرایند ریز و کروی شدن ذرات سیلیسیم به وسیله عملیات حرارتی در دو مرحله رخ می‌دهد. مرحله اول شامل تکه‌تکه شدن (گلویی شدن) شاخه‌های سوزنی سیلیسیم و در مرحله دوم، شاخه‌های

کرد. زیرا ذرات تقویت‌کننده در کامپوزیت‌های ذره‌ای، محل‌های مناسبی برای جوانه‌زنی حفرات گازی بوده و گاز جذب‌شده روی سطح ذرات به درون مذاب وارد می‌شود. همچنین با افزایش درصد وزنی ذرات تقویت‌کننده، سیالیت مذاب کمتر شده و گرانزوی افزایش می‌یابد و نرخ خروج گازهای محبوس شده از داخل مذاب در حین سرد شدن درحال انجام داشته باشد [20,8]. از دیگر عوامل تشکیل حفره در این کامپوزیت‌ها می‌توان به جذب گاز هنگام هم زدن مذاب، محاصره شدن هوا دور ذرات تقویت‌کننده، و انقباض حین انجام اشاره نمود [5].

در شکل 10 تصویر میکروسکوپ الکترونی گسیل میدانی از ریزاساختار نانوکامپوزیت تقویت‌شده با 1.5 درصد وزنی ذرات کاربید سیلیسیم در حالت عملیات حرارتی نشان داده شده است که در آن نانوذرات به طور یکنواختی در زمینه توزیع شده است. توزیع مناسب ذرات تقویت‌کننده و افزایش تعداد آن‌ها در زمینه نشان‌دهنده تأثیر مثبت عملیات حرارتی ذرات و اضافه نمودن یک درصد وزنی منیزیم به آلیاژ بوده که باعث افزایش ترشوندگی ذرات و توزیع مناسب آن‌ها در زمینه شده است.

شکل 11 تصویر FESEM از ریزاساختار کامپوزیت تقویت‌شده با 1.5 درصد وزنی در بزرگنمایی بالا در حالت عملیات حرارتی T6 به همراه آنالیز نقطه‌ای از نقاط مختلف به روش طیف‌ستج تفکیک انرژی را نشان می‌دهد.

این آنالیز بیانگر وجود نانوذرات کاربید سیلیسیم (ناحیه A) و رسوب Mg₂Si (ناحیه B) که پس از 6 ساعت عملیات محلول‌سازی در دمای 540 درجه سلسیوس و 4 ساعت پیرسازی مصنوعی در دمای 190 درجه سلسیوس تشکیل شده می‌باشد.

2-3- سختی

نتایج بدست آمده در ارتباط با سختی نمونه‌ها در شکل 12 آورده شده است. مشاهده می‌شود که سختی تمام نمونه‌های کامپوزیتی از آلیاژ آلومینیم تقویت‌نشده بالاتر است. به دلیل اینکه کاربید سیلیسیم دارای سختی بالای بوده و به عنوان مانعی در مقابل حرکت نابجایی‌ها عمل می‌کند، بنابراین سختی کامپوزیت‌های تقویت‌شده با ذرات کاربید سیلیسیم بیشتر از آلیاژ پایه بوده و با افزایش درصد وزنی ذرات، میزان سختی نیز افزایش یافته است.

در حالت ریختگی اضافه شدن 1.5 درصد وزنی نانوذرات کاربید سیلیسیم به زمینه آلومینیم باعث افزایش 31 درصدی سختی شده و بهبود

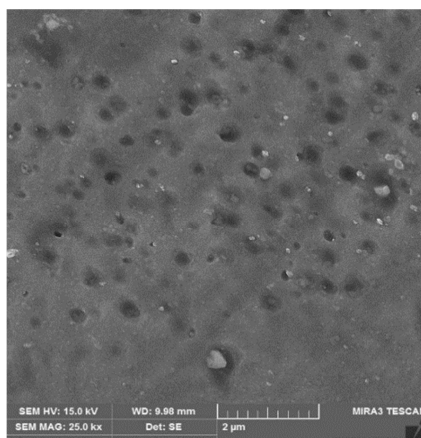


Fig. 10 FESEM micrograph of the 1.5wt. % SiC nanoparticle reinforced composites

شکل 10 تصویر میکروسکوپ الکترونی گسیل میدانی از ریزاساختار کامپوزیت تقویت‌شده با 1.5 درصد وزنی نانوذرات کاربید سیلیسیم

کسب انرژی لازم از داخل فاز سوزنی شکل غنی از آهن به درون زمینه نفوذ کرده و باعث انحلال و خرد شدن این ترکیبات و کوتاه‌تر شدن طول این تیغه‌ها می‌شوند [18].

شکل 9 ریزاساختار کامپوزیت تقویت‌شده با 5 درصد وزنی ذرات میکرومتری بعد از عملیات حرارتی را نشان می‌دهد. همان‌طور که مشاهده می‌شود ذرات سیلیسیم به صورت تقریباً کروی در زمینه آلومینیم حضور دارند. ریخت‌شناسی بشقابی مانند سیلیسیم یوتکتیک که در حالت ریختگی ایجاد می‌شود، باعث کاهش خواص مکانیکی می‌شود. زیرا صفحات سیلیسیم، سخت و شکننده بوده و می‌توانند منجر به ترک در زمینه نرم فلزی شود. به همین دلیل لازم است که ریخت‌شناسی آن‌ها تغییر کند.

این عمل نشان می‌دهد که عملیات حرارتی T6 یکی از روش‌های مؤثر در کنترل ریزاساختار و به دنبال آن بهبود خواص مکانیکی آلیاژ A356 است. در هنگام پیرسازی، رسوب Mg₂Si در محلول جامد فوق اشباع (a) در آلیاژ Al-Si-Mg رخ می‌دهد. گزارش شده است که رسوب Mg₂Si تقریباً دارای طول 0.5 میکرومتر و عرض کمتر از 50 نانومتر است [19]. به علت اندازه کم گزارش شده، این رسوب توسط دستگاه میکروسکوپ الکترونی رویشی تشخیص داده نشد. همچنین از نقاط سفیدرنگ موجود در زمینه کامپوزیت (ناحیه A) نیز آنالیز عنصری گرفته شد و نشان داده شد که این ذرات کاربید سیلیسیم می‌باشند.

برای جلوگیری از ورود گاز محیط به داخل مذاب در کلیه مراحل آزمایش، محیط کوره بوسیله گاز خنثی (نیتروژن) پوشش داده شد. ولی با این حال نمی‌توان از ورود گازها به داخل مذاب به طور کامل جلوگیری کرد. به همین دلیل در ریخته‌گری گردابی نمی‌توان به طور کامل از تخلخل اجتناب

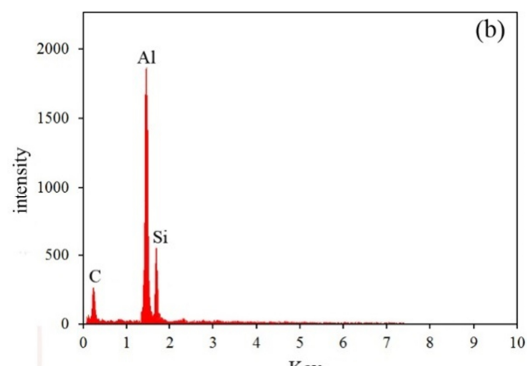
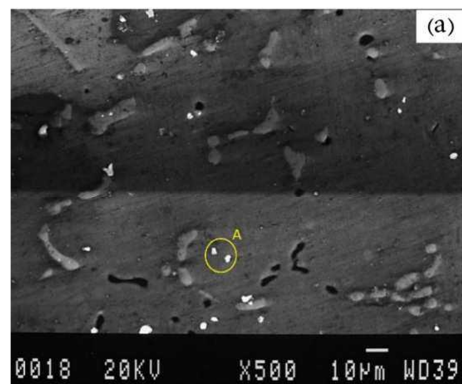


Fig. 9 (a) SEM micrograph of the 5wt.% SiC microparticle reinforced composites (b) EDS composition analysis

شکل 9 (a) تصویر میکروسکوپ الکترونی رویشی از ریزاساختار کامپوزیت تقویت‌شده با 5 درصد وزنی ذرات میکرومتری (b) نتیجه آنالیز عنصری

حاصل از رانا و همکاران مطابقت دارد [21].

در آلیاژ‌های Al-Si-Mg حضور سیلیسیم و منیزیم باهم می‌تواند باعث رسوب Mg₂Si شده و منجر به افزایش سختی آلیاژ عملیات حرارتی شده شود [22] که در شکل 11 (a) این رسوب مشاهده شده است که عامل اصلی افزایش سختی نمونه‌های کامپوزیتی عملیات حرارتی شده نسبت به حالت ریختگی است. انجام عملیات حرارتی به دلیل انحلال فازهای ثانویه و نفوذ بیشتر عناصر آلیاژی و تشکیل محلول جامد فوق اشباع، منجر به ایجاد ذرات مستحکم و ریز Mg₂Si با توزیع همگن پس از عملیات پیرسازی شده و باعث افزایش سختی نمونه‌ها شده است [18].

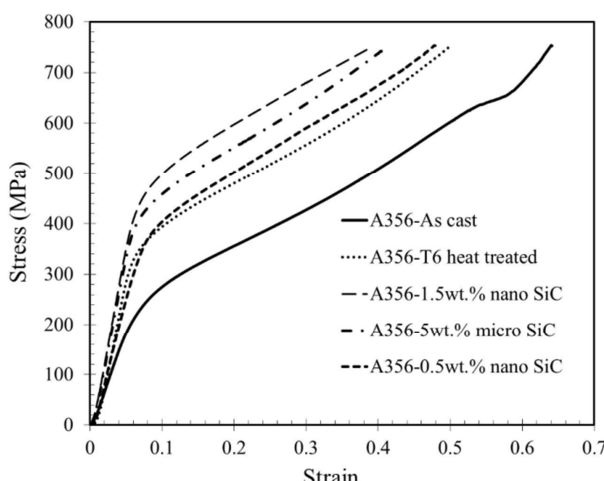
3- استحکام فشاری

در شکل 13 منحنی تنش-کرنش نمونه‌ها حاصل از آزمون فشار نشان داده است. همان‌طور که مشاهده می‌شود در حالت عملیات حرارتی می‌توان استحکام تسلیم آلیاژ پایه را بهبود داد. به‌طوری که استحکام تسلیم آلیاژ پایه عملیات حرارتی شده نسبت به حالت ریختگی به مقدار 53 درصد افزایش یافته است. افزودن ذرات تقویت‌کننده به زمینه آلیاژ A356 نیز باعث افزایش استحکام تسلیم شده است. به‌طوری که با افزودن 1.5 درصد وزنی نانوذرات کاربید سیلیسیم استحکام تسلیم آلیاژ پایه در حالت عملیات حرارتی حدود 21 درصد بهبود یافته است.

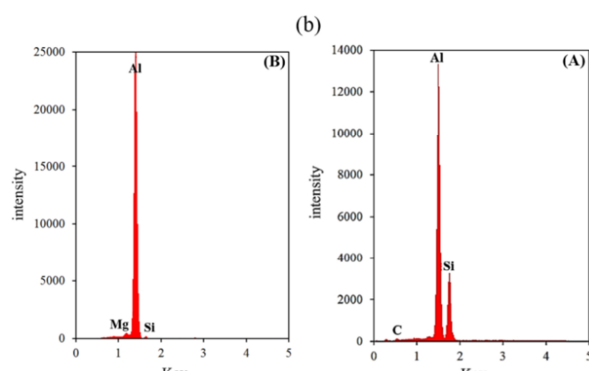
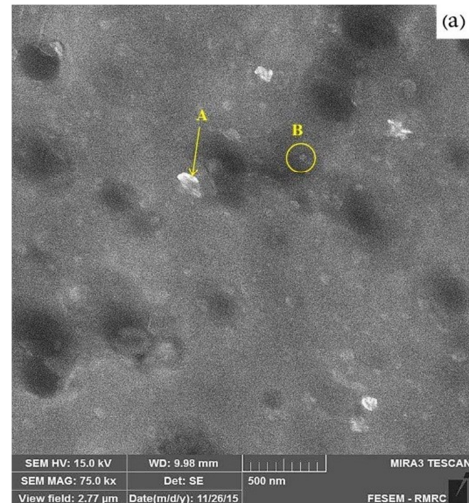
با کامپوزیتسازی و عملیات حرارتی T6 روی آلیاژ A356 می‌توان استحکام تسلیم را به‌طور چشم‌گیری افزایش داد. به‌طوری که با اضافه شدن 1.5 درصد وزنی نانوذرات کاربید سیلیسیم و عملیات حرارتی T6 استحکام تسلیم نسبت به آلیاژ پایه ریختگی به میزان 87 درصد افزایش یافته است. همچنین استحکام تسلیم کامپوزیت تقویت شده با 1.5 درصد وزنی نانوذرات نسبت به 5 درصد وزنی ذرات میکرومتری به میزان 4 درصد بیشتر شده است.

در شکل 14 نیز استحکام فشاری نمونه‌ها در کرنش 35 درصد آورده شده است.

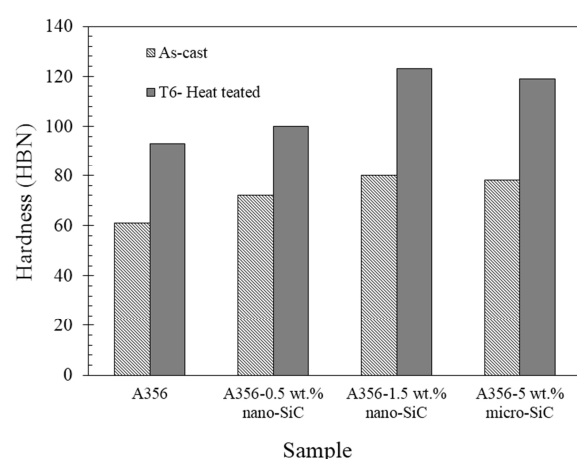
نتایج نشان داد که استحکام فشاری آلیاژ پایه با انجام عملیات حرارتی T6 افزایش می‌یابد. به‌طوری که استحکام فشاری آلیاژ پایه در حالت عملیات حرارتی نسبت به حالت ریختگی در کرنش یکسان به میزان 28 درصد بهبود یافته است. در واقع با انجام عملیات حرارتی T6 فاز Mg₂Si در ساختار رسوب



شکل 13 منحنی تنش-کرشن فشاری نمونه‌ها



شکل 11 (a) ریزساختار کامپوزیت تقویت شده با 1.5 درصد وزنی نانوذرات در بزرگنمایی بالا (b) نتایج آنالیز عنصری



شکل 12 تغییرات سختی کامپوزیت‌ها با مقدار کاربید سیلیسیم

سختی در کامپوزیت تقویت شده با 5 درصد وزنی ذرات میکرومتری به میزان 27 درصد می‌یابد. افزایش سختی ناشی از افزودن نانوذرات کاربید سیلیسیم نسبت به ذرات میکرومتری در زمینه آلومینیم، نشان‌دهنده این است که ذرات نانومتری نسبت به ذرات میکرومتری دارای تأثیر بیشتری در مکانیزم استحکام‌دهی (مکانیزم اوروان) دارند. این نتیجه با نتایج حاصل از پژوهش

- عملیات حرارتی T6 باعث افزایش خواص مکانیکی آلیاژ A356 شده است. به طوری که سختی و استحکام فشاری به ترتیب 53 درصد و 28 درصد نسبت به آلیاژ پایه در حالت ریختگی بهبود یافته است. رسوب فاز مستحکم Mg_2Si طی عملیات حرارتی پیرسختی در زمینه عامل اصلی در افزایش سختی و استحکام فشاری است.
- اضافه کردن ذرات تقویت‌کننده کاربید سیلیسیم به زمینه آلومینیم A356 باعث افزایش خواص مکانیکی می‌شود. به طوری که با اضافه شدن 1.5 درصد وزنی نانوذرات کاربید سیلیسیم و انجام عملیات حرارتی T6، سختی 62 بین نسبت به آلیاژ پایه در حالت ریختگی افزایش یافته است. همچنین استحکام فشاری در کرنش 35 درصد به میزان 54 درصد بهبود یافته است.
- تأثیر اضافه کردن ذرات نانومتری به عنوان تقویت‌کننده در زمینه آلیاژ آلومینیم A356 در افزایش خواص مکانیکی، بیشتر از ذرات تقویت‌کننده میکرومتری است. به طوری که سختی و استحکام فشاری کامپوزیت تقویت‌شده با 1.5 درصد وزنی نانوذرات کاربید سیلیسیم نسبت به 5 درصد وزنی ذرات میکرومتری به ترتیب 3 درصد و 5 درصد بالاتر شده است.

5- مراجع

- [1] A. B. Elshalakany, T. A. Osman, A. Khattab, B. Azzam, Microstructure and mechanical properties of MWCNTs reinforced A356 aluminum alloys cast nanocomposites fabricated by using a combination of rheocasting and squeeze casting techniques, *Journal of Nanomaterials*, Vol. 2014, No. 1, pp. 1-14, 2014.
- [2] I. S. Mahallawi, A. Y. Shash, A. Amer, Nanoreinforced cast Al-Si alloys with Al_2O_3 , TiO_2 and ZrO_2 nanoparticles, *Metals*, Vol. 5, No. 2, pp. 802-821, 2015.
- [3] K. Amouri, Sh. Kazemi, M. Kazazi, Evaluation of the microstructure and mechanical properties of Al-SiC nanocomposite fabricated by stir casting, *Modares Mechanical Engineering*, Vol. 16, No. 1, pp. 21-28, 2016 (in Persian)
- [4] H. R. Ezatpour, S. A. Sajjadi, M. H. Sabzevar, Y. Huang, Investigation of microstructure and mechanical properties of Al_6061 -nanocomposite fabricated by stir casting, *Materials & Design*, Vol. 55 , No.1, pp. 921-928, 2014.
- [5] S. Amirkhanlou, B. Niroumand, Synthesis and characterization of 356-SiCp composites by stir casting and compocasting methods, *Transactions of nonferrous metals society of china*, Vol. 20, No.3, pp. 788-793, 2010.
- [6] S. Suresh, N. S. Moorthi, S. C. Vettivel, N. Selvakumar, Mechanical behavior and wear prediction of stir cast Al-TiB₂ composites using response surface methodology, *Materials & Design*, Vol. 59 , No. 1, pp. 383-396, 2014.
- [7] R. G. Bhandare, P. M. Sonawane, Preparation of aluminium matrix composite by using stir casting method, *International Journal of Engineering and Advanced Technology (IJEAT)*, Vol. 3 , No. 3, pp. 61-65, 2013.
- [8] P. Sharma, G. Chauhan, N. Sharma, Production of AMC by stir casting – an overview, *International Journal of Contemporary Practices*, Vol. 2, No. 1, pp. 23-46, 2011.
- [9] S. M. Suresh, D. Mishra, A. Srinivasan, R. M. Arunachalam, R. Sasikumar, Production and characterization of micro and nano Al_2O_3 particle-reinforced LM25 aluminium alloy composites, *Journal of Engineering and Applied Sciences*, Vol. 6 , No. 6, pp. 94-97, 2011.
- [10] M. Hajizamani, H. Baharvandi, Fabrication and studying the mechanical properties of A356 alloy reinforced with Al_2O_3 -10% Vol. ZrO_2 nanoparticles through stir casting, *Advances in Materials Physics and Chemistry*, Vol. 1, No. 2, pp. 26-30, 2011.
- [11] J. Hashim, L. Looney, M. S. J. Hashmi, The wettability of SiC particles by molten aluminium alloy, *Journal of Materials Processing Technology*, Vol. 119, No. 1-3, pp. 324-328, 2001.
- [12] S. A. Sajjadi, H. R. Ezatpour, M. T. Parizi, Comparison of microstructure and mechanical properties of A356 aluminum alloy/ Al_2O_3 composites fabricated by stir and compo-casting processes, *Materials & Design*, Vol. 34, No.1, pp. 106-111, 2012.
- [13] B. Ravi, B. B. Naik, J. U. Prakash, Characterization of aluminium matrix composites (AA6061/B₄C) fabricated by stir casting technique, *Materials Today: Proceedings*, Vol. 2, No. 4-5, pp. 2984-2990, 2015.

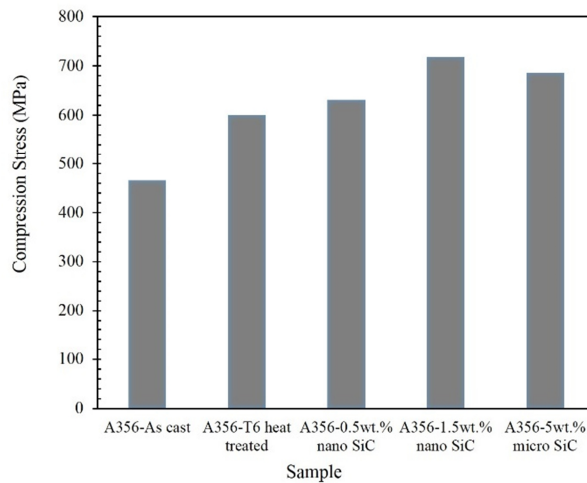


Fig. 14 Compression results at 35% strain

شکل 14 استحکام فشاری نمونه‌ها در کرنش 35 درصد

کرده که باعث افزایش خواص مکانیکی شده است. عواملی مانند اصلاح دانه زمینه، توزیع مناسب ذرات تقویت‌کننده در زمینه، تنش‌های حرارتی چندجگهه در فصل مشترک زمینه- ذره به علت اختلاف ضربی انبساط حرارتی بین زمینه و ذرات تقویت‌کننده، انتقال بار از زمینه به ذرات تقویت‌کننده و مکانیزم استحکام دهنده ذرات تقویت‌کننده از دلایل کلی افزایش استحکام فشاری نمونه‌های کامپوزیتی است [23]. مشاهده می‌شود که استحکام فشاری کامپوزیت تقویت‌شده با 1.5 درصد وزنی ذرات نانومتری نسبت به 5 درصد وزنی ذرات میکرومتری بالاتر شده است و این می‌تواند دو دلیل داشته باشد: اولاً ذرات با اندازه بزرگ‌تر دارای فصل مشترک بیشتری با زمینه دارد و درنتیجه تمرکز تنش بیشتری را تحمل می‌کند. ثانیاً ترک خوردگی در ذرات بزرگ‌تر بیشتر است و ذرات بزرگ‌تر بیشتر مستعد شکست هستند. بنابراین ذرات شکسته شده نمی‌توانند باری را تحمل کنند و به عنوان محلهای ترجیحی برای شکست عمل می‌کنند [21]. همچنین ذرات نانومتری تأثیر بیشتری در مکانیزم استحکام‌دهی (مکانیزم اورون و مکانیزم استحکام‌دهی ناشی از عدم انطباق انبساط حرارتی بین زمینه و ذرات کاربید سیلیسیم) نسبت به ذرات میکرومتری دارد [24]. بنابراین با توجه به دلایل ذکر شده مشاهده می‌شود که کامپوزیت تقویت‌شده با ذرات میکرومتری کاربید سیلیسیم دارای مقاومت فشاری کمتری نسبت به ذرات نانومتری است.

4- نتیجه‌گیری

در این پژوهش کامپوزیت زمینه آلومینیم (A356) تقویت‌شده با ذرات نانومتری و میکرومتری کاربید سیلیسیم به روش ریخته‌گری گردای با موفقیت تولید شده و نتایج زیر حاصل شد:

- اضافه کردن ذرات تقویت‌کننده کاربید سیلیسیم باعث کاهش اندازه و ریز شدن دندربتها در زمینه آلومینیم شده است.
- انجام عملیات حرارتی T6 روی آلیاژ A356 باعث تغییر در مورفولوژی سیلیسیم یوتکتیک به حالت ریز و تقریباً کروی شده می‌شود. همچنین باعث خرد شدن و ریز شدن ترکیب بین فلزی غنی از آهن در ساختار می‌شود. وجود منیزیم و سیلیسیم باهم نیز منجر به رسوب فاز Mg_2Si طی مرحله پیرسختی در آلیاژ A356 شده است.

- [20] J. Hashim, L. Looney, M. S. J. Hashmi, Metal matrix composites: Production by the stir casting method, *Journal of Materials Processing Technology*, Vol. 92-93, No. 1, pp. 1-7, 1999.
- [21] R. S. Rana, R. Purohit, S. Das, Fabrication and testing of ultrasonically assisted stir cast AA 5083-SiC_p Composites, *Journal of Engineering Research and Applications*, Vol. 3, No. 5, pp. 386-393, 2013.
- [22] H.R. Lashgari, Sh. Zangeneh, H. Shahmir, M. Saghafi, M. Emamy, Heat treatment effect on the microstructure, tensile properties and dry sliding wear behavior of A356-10% B₄C cast composites, *Materials and Design*, Vol. 31, No. 9, pp. 4414-4422, 2010.
- [23] E. Damavandi, S. Nourouzi, S.M. Rabiee, Effect of porosity on microstructure and mechanical properties of Al₂O₃(p)/Al-A356 MMC, *Modares Mechanical Engineering*, Vol. 15, No. 3, pp. 243-250, 2015 (in Persian فارسی)
- [24] A. S. Zadeh, Comparison between current models for the strength of particulate-reinforced metal matrix nanocomposites with emphasis on consideration of Hall-Petch effect, *Materials Science and Engineering: A*, Vol. 531, No. 1, pp. 112-118, 2012.
- [14] A. Mazahery, M. O. Shabani, Plasticity and microstructure of A356 matrix nano composites, *Journal of King Saud University – Engineering Sciences*, Vol. 25, No. 1, pp. 41–48, 2013.
- [15] K. K. Chawla, N. Chawla, *Metal Matrix Composites*, Second Edition, pp. 174, New York: Springer, 2013.
- [16] M. Karbalaei Akbari, H.R. Baharvandi, K. Shirvanimoghaddam, Tensile and fracture behavior of nano/micro TiB₂ particle reinforced casting A356 aluminum alloy composites, *Materials and Design*, Vol. 66 , No. 1, pp. 150-161, 2015.
- [17] F. Paray, J. E. Gruzleski, Modification - a parameter to consider in the heat treatment of Al-Si alloys, *Cast Metals*, Vol. 5, No. 4, pp. 187-198, 1993.
- [18] A. Eshaghi, J. Rasizadeh, H. Ghasemi, R. Taghiabadi, Effects of solution treatment on the microstructure and wear behavior of 332 aluminum alloy, *Journal of the college of engineering*, Vol. 43, No. 2, pp. 139-148, 2009. (in Persian فارسی)
- [19] J. Peng, X. Tang, J. He, D. Xu, Effect of heat treatment on microstructure and tensile properties of A356 alloys, *Transactions of Nonferrous Metals Society of China*, Vol. 21, No. 9, pp. 1950-1956, 2011.